

© Б.Д. Сандитов, В.В. Мантатов, Д.С. Сандитов

Модель возбужденного состояния и линия стеклования жидкости

Россия, Улан-Удэ, Бурятский государственный университет

На основе модели возбужденного состояния для зависимости температуры стеклования от давления (линии стеклования) получено соотношение, аналогичное по внешнему виду уравнению Клапейрона-Клаузиса для фазовых переходов. Сравнение полученных результатов с выводами из неравновесной термодинамики приводит к заключению о том, что процесс возбуждения атома в аморфных средах есть неравновесное структурное превращение и «энтропия квазифазового перехода жидкость – стекло», имеет смысл меры неравновесности стекла. Проведен расчет степени неравновесности различных аморфных веществ в области стеклования. Обсуждается природа структурных изменений в процессе критического смещения (возбуждения) кинетических единиц в жидкостях и стеклах вблизи температуры стеклования.

© B.D. Sanditov, V.V. Mantatov, D.S. Sanditov

Model of the excited state and line of a glass transition of a fluid

On the basis of model of the excited state for dependence of glass transition on pressure (a line of a glass transition) the relation similar on appearance to equation Klaiperona-Klayzisa for phase changes is gained. Matching of the gained effects with outputs from a nonequilibrium thermodynamics result ins to the inference that process of energization of atom in the amorphous environments is nonequilibrium structural transfromation and «entropy transition a fluid - a glass» is meaningful standards of a non-equilibrium of a glass. Calculation of a degree of a non-equilibrium of various amorphous substances in the field of a glass transition is lead. The nature of structural changes during critical offset (energization) of the kinetic unities in fluids and glasses near to glass transition is discussed.

Введение. В модели возбужденного состояния [1,2] предполагается существование в жидкостях и аморфных средах кинетических единиц, смещенные или способных сместиться на критическое расстояние Δr_m , соответствующее максимуму силы межатомного притяжения (рис. 1). Такое предельное флуктуационное смещение – возбуждение кинетической единицы – обусловлено перегруппировкой соседних частиц и служит элементарным актом процессов вязкого течения, стеклования жидкостей¹ и пластической деформации стекол. Такую кинетическую единицу (атом, группу атомов) будем называть «возбужденным атомом».

В настоящей работе с точки зрения данной модели рассмотрена зависимость температуры стеклования от давления, называемая линией стеклования. Полученные результаты сравниваются с термодинамической теорией стеклования [3].

Модель возбужденного состояния и линия стеклования. Вероятность критического смещения атома $W=N_e/N$ в жидкостях и аморфных средах выражается соотношением [1,2]

$$\frac{N_e}{N} = \exp\left[-\frac{\pi r^2 \Delta r_m (P_m + P)}{kT}\right] = \\ = \exp\left(-\frac{\Delta \varepsilon_e + P \Delta v_e}{kT}\right). \quad (1)$$

Здесь отношение N_e/N равно концентрации (доле) возбужденных атомов. Элементарный объем $\Delta v_e = \pi r^2 \Delta r_m$ представляет

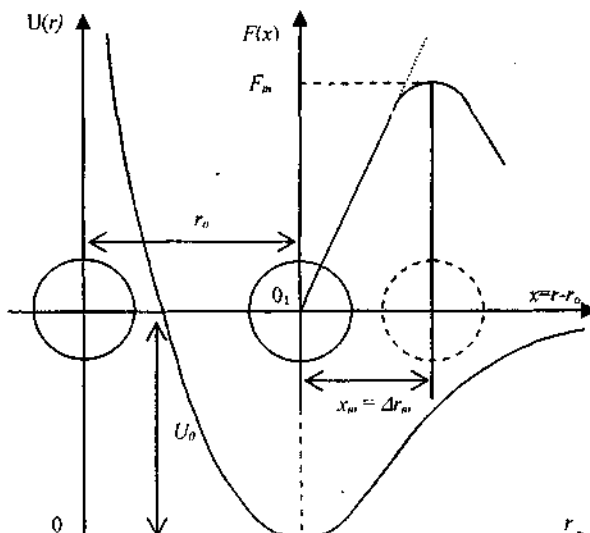


Рис. 1. Схема возбуждения атома. r_0 – среднее межатомное расстояние. Δr_m – критическое смещение атома, соответствующее максимуму силы межатомного притяжения.

¹ Работа выполнена при финансовой поддержке РФФИ (код проекта 05-01-00071а) и гранта БГУ «Лучшая научная школа».

собой флюктуационный объем, необходимый для процесса возбуждения атома (πr^2 – площадь сечения атома). Иными словами, Δv_e характеризует минимальную флюктуацию объема системы, необходимую для критического смещения атома. Энергия процесса возбуждения атома $\Delta \varepsilon_e = P_m \Delta v_e$ равна работе против максимального внутреннего давления P_m , обусловленного силами межатомного (межмолекулярного) притяжения. Она представляет собой приращение внутренней энергии системы в процессе возбуждения атома.

Одним из важных параметров модели является флюктуационный объем системы

$$V_f = N_e \Delta v_e, \quad (2)$$

его объемная доля тесно связана с концентрацией возбужденных атомов

$$\begin{aligned} f &= \frac{V_f}{V} = \frac{\Delta v_e}{v} \left(\frac{N_e}{N} \right), \\ f &= \left(\frac{\Delta v_e}{v} \right) \exp \left(-\frac{\Delta \varepsilon_e + P \Delta v_e}{kT} \right), \end{aligned} \quad (3)$$

где $v = V/N$ – атомный объем. При охлаждении стеклообразующей жидкости до температуры стеклования $T = T_g$ величина f уменьшается до некоторого минимального значения $f = f_g$ [1,2]

$$f_g = \left(\frac{V_f}{V} \right)_{T=T_g} \approx const \approx 0.02 \div 0.03, \quad (4)$$

ниже которого (при $T \leq T_g$) замораживаются процессы рождения и исчезновения возбужденных кинетических единиц. Оценку f_g можно получить по данным о значениях вязкости вблизи T_g .

Полагая независимость параметров $\Delta \varepsilon_e$, Δv_e и f_g от температуры T_g и давления P_g стеклования, из основного уравнения (3) для линии стеклования получаем следующее выражение

$$\frac{dP_g}{dT_g} = \frac{k \ln(\Delta v_e / f_g v)}{\Delta v_e}. \quad (5)$$

Введем энталпию процесса возбуждения атома ΔH_e , которая в отличие от $\Delta \varepsilon_e$ равна работе, совершающейся не только против внутреннего давления, но и против внешнего давления P [4,5]

$$\Delta H_e = (P_m + P) \Delta v_e = \Delta \varepsilon_e + P \Delta v_e. \quad (6)$$

Разрешив уравнение (3) относительно $(\Delta \varepsilon_e + P \Delta v_e)$, с учетом (6) при $T = T_g$ имеем

$$\Delta H_e = k T_g \ln(\Delta v_e / f_g v). \quad (7)$$

Принимая во внимание это соотношение, линию стеклования (5) можно представить окончательно в виде

$$\frac{dP_g}{dT_g} = \frac{\Delta H_e}{T_g \Delta v_e}, \quad (8)$$

что по внешнему виду аналогично известному уравнению Клапейрона-Клаузиуса для равновесных фазовых переходов [4]

$$\frac{dP}{dT} = \frac{\Delta q}{T \Delta v},$$

где T и Δq – температура и скрытая теплота фазового перехода, соответственно Δv – изменение объема при данном переходе. Отношение $\Delta q/T$ равно энтропии фазового перехода $\Delta S_f = \Delta q/T$.

По аналогии с этим выражением на основе равенства (8) введем величину с размерностью энтропии

$$\Delta S_e = \frac{\Delta H_e}{T_g}, \quad (9)$$

физический смысл которой обсуждается ниже. Условно ее можно назвать «энтропией квазифазового перехода жидкость–стекло» или «энтропией процесса возбуждения атома».

Линия стеклования в неравновесной термодинамике. Один из важных результатов описания процесса стеклования в рамках неравновесной термодинамики состоит в том, что линия стеклования в отличие от таковой для равновесных фазовых переходов определяется свойствами только одной жидкой фазы. Зависимость давления стеклования P_g от T_g выражается уравнением [3]

$$\frac{dP_g}{dT_g} = \frac{\Delta Q}{T_g \Delta V}, \quad (10)$$

где ΔQ – теплота процесса неравновесного структурного превращения, ΔV – изменение объема при данном превращении. Величины ΔQ и ΔV определены производными свободной энергии Гиббса по внутреннему параметру ξ , который наряду с парой внешних параметров (P, T) выступает как равноправный. Стеклообразное состояние соответствует частному случаю, когда $\xi = const$. Точка стеклования для заданного ξ определяется как точка (P_g, T_g) . Природа ξ в неравновесной термодинамике не рас-

крывается, впрочем как и природа неравновесного структурного превращения.

Из соотношений (8) и (10) следует связь между параметрами термодинамической теории и модели возбужденного состояния

$$\frac{\Delta Q}{\Delta V} = \frac{\Delta H_e}{\Delta v_e}, \quad (11)$$

где все величины отнесены к молю вещества. С этих позиций критическое смещение (возбуждение) атома, или предельная деформация межатомной связи (рис. 1), есть неравновесное структурное превращение.

Модель возбужденного состояния можно рассматривать как один из вариантов термодинамической теории [3], где в качестве внутреннего параметра выступает доля флюктуационного объема $\xi = f(T, P)$, которая при $T \leq T_g$ постоянна $f = f_g \approx \text{const}$ в соответствии с критерием в неравновесной термодинамике $\xi = \text{const}$.

Степень неравновесности стекла. В термодинамической теории стеклования [3] (см. формулы (11) и (15) в работе [3]) отношение $\Delta Q/T_g$ в равенстве (10)

$$\Delta S = \frac{\Delta Q}{T_g}$$

имеет смысл отклонения энтропии неравновесного состояния (стекла) от ее равновесного значения в точке стеклования (T_g, P_g), в которой состояния жидкости и стекла неразличимы [3]. Следовательно, ΔS можно рассматривать как меру неравновесности стекла вблизи T_g .

Естественно предположить, что такой же смысл имеет величина ΔS_e в аналогичном выражении (9), следующем из модели возбужденного состояния. Поэтому, разделив обе части равенства (9) на постоянную Больцмана k , введем безразмерную «энтропию квазифазового перехода жидкость-стекло»

$$\beta_e = \frac{\Delta S_e}{k} = \frac{\Delta H_e}{kT_g}, \quad (12)$$

которую назовем «степенью неравновесности стекла».

Эту величину можно оценить по формуле (см. (7) и (12))

$$\beta_g = \ln \left[\frac{1}{f_g} \left(\frac{\Delta v_e}{v} \right) \right] \quad (13)$$

Отношение объемов ($\Delta v_e/v$) определяет-

ся произведением параметров потенциала Ми ($U = -Ar^{-m} + Br^{-n}$) [6]: $\Delta v_e/v \approx 9/mn$, где mn является функцией коэффициента Пуассона μ [7], с учетом которой данное отношение объемов, в свою очередь, оказывается однозначной функцией μ

$$\frac{\Delta v_e}{v} \approx \frac{3}{2} \left(\frac{1-2\mu}{1+\mu} \right) \quad (14)$$

Таким образом, для оценки β_g окончательно получаем следующее выражение

$$\beta_g \approx \ln \left[\frac{3(1-2\mu)}{2f_g(1+\mu)} \right] \quad (15)$$

Значения коэффициента Пуассона (при $T < T_g$) брали из справочников [8,9] и других источников [10,11], а долю флюктуационного объема f_g вычисляли из данных о вязкости вблизи T_g по соотношениям [12]

$$f_g \approx \frac{1}{C_1}, \quad f_g = \frac{T_g - T_o}{B},$$

где C_1 , B и T_o – постоянные уравнений Вильямса-Ланделла-Ферри [13] и Фогеля-Фульчера-Таммана [12] соответственно. Известно, что эти уравнения вполне удовлетворительно описывают температурную зависимость вязкости в области стеклования. Результаты расчетов приведены в табл. 1-5. В них также приводятся параметры модели ΔH_e и Δv_e , рассчитанные соответственно по соотношению (7) и формуле [14]

$$\Delta v_e = \frac{3(1-2\mu)kT_g}{f_g E}, \quad (16)$$

где E – модуль упругости при одноосной деформации.

Обсуждение результатов. Постоянство β_g в области стеклования. Прежде всего, при заметных изменениях доли флюктуационного объема ($f_g \approx 0.010-0.030$) и коэффициента Пуассона ($\mu \approx 0.20-0.33$) обращает внимание достаточно устойчивое приближенное постоянство степени неравновесности (15) вблизи T_g для стекол различной химической природы (табл. 1-5)

$$\beta_g = \frac{\Delta H_e}{kT_g} \approx \text{const} \approx 3. \quad (17)$$

Следовательно, жидкость переходит в стекло, когда средняя энергия теплового движения kT_g становится в первом прибли-

жении в 3 раза меньше энталпии возбуждения атома ΔH_e .

У калиевоборатных стекол, например, при росте содержания окиси K₂O от 0 до 33.5 мол.% множитель ($\Delta v_e/v$) в равенстве (13) убывает со значения 0.56 до величины 0.45 (μ растет с 0.262 до 0.303), а множитель $1/f_g$ увеличивается от 29 до 38 и в результате этого логарифм произведения ($\Delta v_e/v$)($1/f_g$) в соотношении (13) оказывается практически постоянным $\beta_g \approx const \approx 2.8$ (табл.2). Как правило, стекла с низкой долей флюктуационного объема f_g имеют высокое значение коэффициента Пуассона (табл. 1-5). В частности, сульфатнофосфатные стекла (табл. 4) характеризуются низкими значениями $f_g \approx 0.013-0.20$ и высокими величинами $\mu \approx 0.280-0.300$. У щелочносиликатных стекол (табл. 1), наоборот, значения μ сравнительно малы (~0.22-0.25), а f_g выше (~0.028-0.030), что и приводит к постоянству β_g для разных стекол.

Одна из причин лучшего выполнения постоянства β_g в сравнении с $f_g \approx const$ (табл.1-5), по-видимому, заключается в компенсации множителем ($\Delta v_e/v$) зависимости f_g от ангармонизма колебаний квазирешетки стекол. Поскольку образование возбужденного атома связано со значительным отклонением кинетической единицы из равновесного положения и с проявлением нелинейности силы межатомного взаимодействия (рис. 1), доля флюктуационного объема f_g оказывается функцией решеточного параметра Грюнайзена γ_L — меры ангармонизма [15]. В свою очередь, величина γ_L является функцией коэффициента Пуассона [16]

$$\gamma_L \equiv 0.7 \left(\frac{1+\mu}{1-2\mu} \right). \quad (18)$$

Следовательно, отношение объемов $\Delta v_e/v$, согласно (14), обратно пропорционально γ_L . Например, при росте ангармонизма γ_L с увеличением содержания окиси калия в калиевоборатных стеклах величина $1/f_g$ растет, а ($\Delta v_e/v$) уменьшается (табл.2). В результате такой взаимной компенсации друг друга указанными множителями произведение ($\Delta v_e/v$)($1/f_g$) остается постоянным.

Тем не менее следует признать, что степень неравновесности стекол β_g , хотя и

слабо, но зависит от природы стеклюющих веществ. Постоянство β_g выполняется лучше для стекол одного структурного типа. При переходе от одних из них к другим величина β_g меняется. Так, для щелочносиликатных стекол имеем $\beta_g \approx 3$ (табл.1), для сульфатнофосфатных - $\beta_g \approx 3.4$ (табл.4), для калиевоборатных - $\beta_g \approx 2.8$ (табл.2). У органических аморфных полимеров степень неравновесности заметно ниже ($\beta_g \approx 2.5$, табл.5), чем у неорганических стекол ($\beta_g \approx 3$, табл. 1-4). И внутри групп стекол одного типа наблюдаются изменения β_g . Так, например, в халькогенидных стеклах As-S при изменении содержания As степень неравновесности меняется вполне определенным образом. При возрастании содержания мышьяка с 10 до 40 ат.% β_g падает с 3.3 до 2.8 (табл.3). Известно, что стеклообразная сера имеет преимущественно линейную цепочечную структуру. Введение мышьяка приводит к сшиванию цепей. При этом происходит переход от линейной (As₁₀S₉₀) к трехмерноувязанной сетчатой структуре (As₄₀S₆₀). Такой переход сопровождается уменьшением ангармонизма: решеточный параметр Грюнайзена γ_L , рассчитанный по формуле (18), снижается с $\gamma_L = 3.8$ до $\gamma_L = 2.1$ (табл.3).

Структурные изменения в процессе возбуждения атома. Из классической термодинамической теории флюктуации плотности и модели возбужденного состояния следует, что доля флюктуационного объема является функцией относительной флюктуации плотности [14,15]

$$f = \frac{v}{\Delta v_e} \left(\frac{\Delta \rho}{\rho} \right)^2. \quad (19)$$

Следовательно, процесс возбуждения атома тесно связан с флюктуацией плотности ($\Delta v_e/v \approx const$). В отсутствие последней ($(\Delta \rho/\rho)^2 = 0$) флюктуационный объем аморфной среды равен нулю $f=0$.

В термодинамической теории флюктуации обычно рассматриваются изменения плотности, обусловленные общим (равновесным) увеличением или уменьшением расстояний между частицами, несколько искажающими однородность жидкости в малых объемах, не нарушая ее существенным образом. Однако, как показывают, в частности, численные эксперименты [17],

на самом деле во всякой макроскопически однородной аморфной среде наряду с такими «гомофазными» флюктуациями существуют «гетерофазные» флюктуации плотности [18], приводящие к образованию зародышей новой фазы, например, твердой фазы в локальных областях однородной жидкости.

Таблица 1. Коэффициент Пуассона μ , доля флюктуационного объема f_g и степень неравновесности β_g для кварцевого стекла SiO_2 и щелочносиликатных стекол $\text{R}_2\text{O} \cdot \text{SiO}_2$ ($\text{R}=\text{Li}, \text{Na}, \text{K}$)

| Стекло | T_g К | f_g | μ | Δv_e $/v$ | Δv_e E^3 | ΔH_e кДж /мол ь | β_g |
|---|------------|-------|-------|----------------------|-----------------------|----------------------------------|-----------|
| SiO_2 | 1423 | 0.03 | 0.170 | 0.85 | 17 | 39 | 3.3 |
| $\text{R}_2\text{O} \cdot \text{SiO}_2$ | | | | | | | |
| Li_2O , мол.% | | | | | | | |
| 28.6 | 688 | 0.028 | 0.205 | 0.73 | 8 | 19 | 3.3 |
| 30.0 | 686 | 0.027 | 0.208 | 0.72 | 8 | 19 | 3.3 |
| 32.6 | 684 | 0.029 | 0.213 | 0.71 | 7 | 18 | 3.2 |
| 35.9 | 680 | 0.029 | 0.20 | 0.75 | 7 | 18 | 3.2 |
| 41.3 | 675 | 0.029 | 0.231 | 0.66 | 6 | 17 | 3.1 |
| Na_2O , мол.% | | | | | | | |
| 19.6 | 744 | 0.029 | 0.234 | 0.65 | 10 | 19 | 3.1 |
| 29.45 | 715 | 0.028 | 0.254 | 0.59 | 9 | 18 | 3.1 |
| 30.1 | 713 | 0.028 | 0.255 | 0.59 | 9 | 18 | 3.1 |
| 32.9 | 704 | 0.028 | 0.255 | 0.59 | 9 | 18 | 3.1 |
| 36.3 | 694 | 0.029 | 0.255 | 0.59 | 8 | 18 | 3.1 |
| K_2O , мол.% | | | | | | | |
| 16.7 | 766 | 0.030 | 0.236 | 0.64 | 11 | 20 | 3.1 |
| 18.8 | 760 | 0.029 | 0.244 | 0.62 | 11 | 20 | 3.1 |
| 21.4 | 745 | 0.029 | 0.254 | 0.59 | 11 | 19 | 3.0 |
| 26.9 | 733 | 0.028 | 0.275 | 0.53 | 11 | 18 | 2.9 |
| 28.7 | 728 | 0.028 | 0.281 | 0.51 | 11 | 17 | 2.9 |
| .33 | 715 | 0.027 | 0.295 | 0.47 | 11 | 17 | 2.9 |

Критическое смещение (возбуждение) атома, соответствующее фактически разрыву межатомной связи (рис.1), можно рассматривать в качестве примера подобных гетерофазных флюктуаций. Жидкость испытывает местные «разрывы», не приво-

дящие, однако, к существенным макроскопическим изменениям структуры, поскольку каждый атом жидкости, теряя связь с одним из соседей, сохраняет связи со всеми остальными соседними частицами [18].

Таблица 2. Параметры модели возбужденного состояния для калиевоборатных стекол $\text{K}_2\text{O} \cdot \text{B}_2\text{O}_3$

| K_2O , мол. % | T_g , К | μ | f_g | Δv_e , E^3 | $\frac{\Delta v_e}{v}$ | n | ΔH_e , кДж моль | β_g |
|-------------------------------------|--------------|-------|-------|-------------------------|------------------------|-----|-------------------------------|-----------|
| 0 | 578 | 0.262 | 0.034 | 20 | 0.5 | 1.8 | 13 | 2.8 |
| 1.1 | 582 | 0.292 | 0.034 | 16 | 0.4 | 2.2 | 13 | 2.6 |
| 2.5 | 588 | 0.293 | 0.033 | 15 | 0.4 | 2.2 | 13 | 2.7 |
| 3.9 | 597 | 0.293 | 0.032 | 14 | 0.4 | 2.2 | 13 | 2.7 |
| 8.5 | 623 | 0.293 | 0.030 | 13 | 0.4 | 2.2 | 14 | 2.8 |
| 13.0 | 658 | 0.295 | 0.030 | 13 | 0.4 | 2.2 | 15 | 2.8 |
| 18.0 | 685 | 0.301 | 0.029 | 13 | 0.4 | 2.3 | 16 | 2.8 |
| 22.8 | 711 | 0.295 | 0.028 | 13 | 0.4 | 2.2 | 16 | 2.8 |
| 28.2 | 723 | 0.288 | 0.027 | 12 | 0.4 | 2.1 | 17 | 2.9 |
| 33.5 | 706 | 0.303 | 0.026 | 11 | 0.4 | 2.3 | 17 | 2.9 |

В формуле (19) левая часть равенства f относится к отдельным возбужденным атомам и обусловлена гетерофазными флюктуациями плотности («неравновесным структурным превращением»), а правая часть представляет собой результат обычных (равновесных) гомофазных флюктуаций плотности и относится ко всем атомам образца. Такая несогласованность оказывается лишь кажущимся противоречием, поскольку с точки зрения классической термодинамики, имеющей дело со средними значениями величин за очень большие (фактически бесконечно большие) промежутки времени, различие между гетерофазными и гомофазными флюктуациями плотности не имеет принципиального значения [18].

Более того, результаты расчета флюктуационного объема, следующие из модели возбужденного состояния, можно получить и в том случае, если отказаться от представления о гетерофазных флюктуациях, и в соответствии с равновесной термодинамикой флюктуационный объем (2) считать распределенным равномерно между всеми частицами жидкости [17]

$$V_f = N \bar{\Delta v}_e = N (\bar{\Delta r})^3, \quad (20)$$

где N – общее число частиц, $\bar{\Delta v}_e = (\bar{\Delta r})^3$ – средний флюктуационный объем, приходящийся на одну частицу, $\bar{\Delta r}$ – среднее смещение атома из равновесного положения.

С помощью метода молекулярной динамики было показано [17], что в области стеклования для простых жидкостей, межатомное взаимодействие которых описывается потенциалом Леннарда-Джонса, флюктуационный объем (20), определенный по средним смещениям атомов, совпадает с величиной V_f , полученной по модели возбужденного состояния (2), т.е. имеет место равенство: $N_e \Delta v_e = N \bar{\Delta v}_e$. Данный факт объясняется указанным выше свойством равновесной термодинамики, согласно которой нет разницы между гомофазными и гетерофазными флюктуациями плотности: образование флюктуационного объема в результате (неравновесных) критических смещений возбужденных атомов, по существу, эквивалентно образованию такого же объема за счет (равновесных) средних смещений атомов.

Таблица 3. Параметры модели возбужденного состояния для халькогенидных стекол

| Стекло, ат. % | T_g , К | f_g | μ | Δv_e , E^3 | $\frac{\Delta v_e}{v}$ | n | ΔH_e , кДж/моль | β_e |
|-----------------------------------|-----------|-------|-------|----------------------|------------------------|-----|-------------------------|-----------|
| As ₁₀ S ₉₀ | 302 | 0.010 | 0.376 | 56 | 0.27 | 3.8 | 8 | 3.3 |
| As ₂₀ S ₈₀ | 362 | 0.022 | 0.305 | 29 | 0.45 | 2.3 | 9 | 3.0 |
| As ₂₈ S ₇₂ | 408 | 0.024 | 0.289 | 27 | 0.49 | 2.1 | 10 | 3.0 |
| As ₄₀ S ₆₀ | 453 | 0.030 | 0.290 | 16 | 0.49 | 2.1 | 11 | 2.8 |
| As ₅ Se ₉₅ | 316 | 0.021 | 0.326 | 21 | 0.39 | 2.7 | 8 | 2.9 |
| As ₁₀ S ₉₀ | 353 | 0.020 | 0.331 | 22 | 0.38 | 2.8 | 9 | 2.9 |
| As ₃₀ S ₇₀ | 406 | 0.031 | 0.290 | 15 | 0.49 | 2.1 | 9 | 2.8 |
| As ₄₀ Se ₆₀ | 456 | 0.029 | 0.260 | 18 | 0.57 | 1.8 | 11 | 3.0 |
| As ₅₀ Se ₅₀ | 442 | 0.024 | 0.300 | 24 | 0.46 | 2.3 | 11 | 2.9 |

С этих же позиций подойдем к понятию «энтропия возбуждения атома» (9), помня, что она является характеристикой неравновесного структурного превращения (типа гетерофазной флюктуации плотности) в области стеклования.

Таблица 4. Доля флюктуационного объема f_g , коэффициент Пуассона μ и степень неравновесности β_e для сульфатнофосфатных стекол NaPO₃-RSO₄ (R=Zn, Li, Na, K) (использованы данные [8])

| RSO ₄ , мол. % | T_g , К | f_g | μ | $\frac{\Delta v_e}{v}$ | Δv_e , E^3 | ΔH_e , кДж/моль | β_e |
|--------------------------------------|-----------|-------|-------|------------------------|----------------------|-------------------------|-----------|
| NaPO ₃ | 523 | 0.016 | 0.294 | 0.48 | 16 | 15 | 3.4 |
| ZnSO ₄ – 10 | 493 | 0.018 | 0.288 | 0.49 | 12 | 13 | 3.3 |
| | 505 | 0.019 | 0.284 | 0.50 | 12 | 14 | 3.3 |
| | 510 | 0.020 | 0.273 | 0.53 | 11 | 14 | 3.3 |
| | 515 | 0.020 | 0.259 | 0.27 | 10 | 14 | 3.3 |
| LiSO ₄ – 10 | 451 | 0.014 | 0.300 | 0.46 | 13 | 13 | 3.5 |
| | 447 | 0.013 | 0.303 | 0.45 | 14 | 13 | 3.5 |
| | 429 | 0.014 | 0.304 | 0.45 | 12 | 12 | 3.5 |
| Na ₂ SO ₄ – 10 | 496 | 0.016 | 0.299 | 0.46 | 14 | 14 | 3.4 |
| | 493 | 0.016 | 0.292 | 0.48 | 15 | 14 | 3.4 |
| | 490 | 0.015 | 0.288 | 0.49 | 17 | 14 | 3.5 |
| K ₂ SO ₄ – 10 | 444 | 0.013 | 0.316 | 0.42 | 16 | 13 | 3.5 |
| | 453 | 0.014 | 0.316 | 0.42 | 15 | 13 | 3.4 |

Такому неравновесному изменению структуры системы сопоставимо эквивалентное равновесное структурное изменение типа гомофазной флюктуации плотности. Иными словами, стеклование жидкости будем рассматривать как квазиравновесный квазифазовый переход, а величины ΔH_e , Δv_e и ΔS_e – как характеристики такого перехода.

Полагая, что вероятность рождения возбужденного атома $W=N_e/N$ носит энтропийный характер, и, пользуясь принципом Больцмана, устанавливающим связь между энтропией и вероятностью, можно прийти к основному уравнению модели (1) другим путем [5]

$$W = \exp\left(-\frac{\Delta S_e}{k}\right) = \exp\left(-\frac{\Delta H_e}{kT}\right),$$

где $\Delta H_e=T\Delta S_e$ – энталпия возбуждения атома, которая определяется формулой (6).

Таблица 5. Параметры модели возбужденного состояния для аморфных органических полимеров (использованы данные [21])

| Полимер | T_g , К | μ | f_g | $\frac{\Delta v_e}{v}$ | Δv_e , E^3 | ΔH_e , кДж/моль | β_g |
|---------------------|-----------|-------|-------|------------------------|-----------------------------|-------------------------|-----------|
| полипропилен | 258 | 0.32 | 0.035 | 0.41 | 26 | 5 | 2.5 |
| полистирол | 363 | 0.34 | 0.030 | 0.36 | 39 | 7 | 2.5 |
| полиметилметакрилат | 373 | 0.33 | 0.030 | 0.38 | 25 | 8 | 2.5 |
| полиформальдегид | 213 | 0.31 | 0.037 | 0.43 | 12 | 4 | 2.5 |
| поликарбонат | 420 | 0.38 | 0.036 | 0.26 | 33 | 7 | 2.0 |
| полиэтилен | 248 | 0.36 | 0.032 | 0.31 | 30 | 5 | 2.3 |

Температура стеклования большинства аморфных веществ, по крайней мере, у систем одного структурного типа, линейно зависит от давления [19,20]:

$$\frac{dP_g}{dP_g} \approx const.$$

Поэтому, как следует из соотношений (8), (9) и (12), степень неравновесности стекла («энтропия возбуждения атома») определяется главным образом флуктуационным объемом Δv_e , необходимым для критического смещения атома («неравновесного структурного превращения»)

$$\beta_g = \frac{1}{k} \left(\frac{dP_g}{dT_g} \right) \Delta v_e \approx const \cdot \Delta v_e. \quad (21)$$

Иными словами, можно сказать, что «энтропия возбуждения атома» характеризует флуктуацию упаковки частиц, создающую необходимое условие для предельного смещения кинетической единицы (для формирования определенной неравновесности).

У кварцевого стекла SiO_2 с сеточной структурой и с преимущественно кова-

лентными межатомными связями флуктуационный объем $\Delta v_e=17 \text{ E}^3$ существенно больше, чем у щелочносиликатных стекол ($\Delta v_e \approx 7-10 \text{ E}^3$), и составляет 85 % объема кинетической единицы ($\Delta v_e/v=0.85$), а у последних – 60-70% (табл.1). Это означает, что для предельной деформации межатомной связи или, что то же самое, для критического смещения (возбуждения) атома в линейноразветвленной структуре щелочносиликатных стекол $\text{R}_2\text{O}-\text{SiO}_2$ требуется меньшая флуктуация упаковки соседних частиц (флуктуация плотности), чем в сеточной структуре кварцевого стекла SiO_2 . Известно, что при введении в SiO_2 окислов щелочных металлов R_2O структура стекла «разрывается» и из сеточной превращается в линейноразветвленную структуру [12]. С ростом содержания R_2O флуктуационный объем Δv_e , необходимый для возбуждения атома, уменьшается (табл. 1). К аналогичным результатам приводят анализ данных для других стеклюющих систем (табл. 2-4).

Заключение. На основе сравнения модели возбужденного состояния с термодинамической теорией стеклования вводится безразмерная величина β_g – степень неравновесности стекла, которая определяется отклонением энтропии стекла (неравновесного состояния) от ее равновесного значения в точке стеклования, где состояния жидкости и стекла неразличимы. У аморфных веществ различной химической природы вблизи T_g наблюдается в первом приближении одинаковая степень неравновесности $\beta_g \approx const \approx 3$. Тем не менее величина β_g (хотя и слабо) зависит вполне определенным образом от природы стеклюющих систем. Так, у органических аморфных полимеров она заметно ниже ($\beta_g \approx 2.5$), чем у неорганических стекол ($\beta_g \approx 3$). При возрастании содержания мышьяка As с 10 до 40 ат.% в халькогенидных стеклах As-S степень неравновесности падает с 3.3 до 2.8. При этом происходит переход от преимущественно линейной ($\text{As}_{10}\text{S}_{90}$) к трехмерноувязанной структуре ($\text{As}_{40}\text{S}_{60}$). Процесс возбуждения кинетической единицы – ее критическое смещение из равновесного в неравновесное положение, соответствующее максимуму силы межмолекулярного притяжения, можно

притяжения, можно рассматривать как «неравновесное структурное превращение» в термодинамической теории стеклования [3].

Литература

1. Сандитов Д.С. Условие стеклования жидкостей и критерий плавления Линдемана в модели возбужденных атомов // Докл. РАН. 2003. Т.390. №2. С.209-213.
2. Сандитов Д.С. Вязкое течение и пластическая деформация стекол в модели возбужденных атомов // Физ. и хим. стекла. 2004. Т.30. №2. С.153-177.
3. Немилов С.В. Критерии устойчивости в термодинамической теории стеклования // Физ. и хим. стекла. 1987. Т.13. №5. С.645-652.
4. Вукалович М.П., Новиков И.И. Термодинамика. М.: Машиностроение, 1972. 670с.
5. Белинский Б.А. Жидкость и виральная теорема Клаузиуса // Применение ультраакустики к исследованию вещества. Вып. 31. М.: Всес. заочн. машиностр. ин-т (ВЗМИ), 1981. С.75-93.
6. Сандитов Д.С., Бартенев Г.М. О взаимосвязи между механическими и тепловыми свойствами стеклообразных твердых тел и их расплавов // Журн. физ. химии. 1973. Т.47. №9. С. 2271-2235.
7. Немилов С.В. Взаимосвязь между скоростью распространения звука, массой и энергией химического взаимодействия // Докл. АН СССР. 1968. Т. 181. №6. С. 1427-1431.
8. Мазурин О.В., Стрельцина М.В., Швайко-Швайковская Т.Н. Свойства стекол и стеклообразующих расплавов. Справочник. Т.1. Л.: Наука, 1973. 444с.
9. Оптические стекла. Справочник. Л.: ГОИ им. С.И. Вавилова, 1975. 346с.
10. Сандитов Д.С., Мамошин В.Л., Архипов В.Г. Применение теории свободного объема к сульфатнофосфатным стеклам и их расплавам // Физ. и хим. стекла. 1993. Т.19. №4. С.593-601.
11. Мельниченко Т.Н., Ризак В.М., Мельниченко Т.Д. Определение доли флуктуационного свободного объема в стеклах систем As-S(Se) // Физ. и хим. стекла. 2003. Т.29. №2. С.35-46.
12. Сандитов Д.С., Бартенев Г.М. Физические свойства неупорядоченных структур. Новосибирск: Наука, 1982. 259с.
13. Ферри Дж. Вязкоупругие свойства полимеров. М.: ИЛ, 1963. 535с.
14. Сандитов Д.С., Бадмаев С.С., Мельниченко Т.Н., Сандитов Б.Д. О критическом смещении возбужденных кинетических единиц в жидкостях и стеклах // Физ. и хим. стекла. 2007. Т.33. №1. С.56-64.
15. Аграфонов Ю.В., Сандитов Д.С., Цыдыпов Ш.Б. Физика классических неупорядоченных систем. Улан-Удэ: Изд. Бурятского госун-та, 2001. 234с.
16. Сандитов Д.С., Мантатов В.В. О преобразовании уравнения Грюнайзена применительно к стеклюющимся системам // Физ. и хим. стекла. 1991. Т.17. №1. С.174-179.
17. Цыдыпов Ш.Б., Парфенов А.Н., Сандитов Д.С., Аграфонов Ю.В., Нестеров А.С. Применение метода молекулярной динамики и модели возбужденного состояния к изучению процесса стеклования аргона // Физ. и хим. стекла. 2006. Т.32. №1. С.116-123.
18. Френкель Я.И. Кинетическая теория жидкостей. М. - Л.: Изд. АН СССР, 1945. 494с.
19. Щицкин Н.И. Стеклование жидкостей и полимеров под давлением. V. Образование уплотненных стекол // Физика твердого тела. 1960. Т.2. №1. С.350-357.
20. Айнбиндер С.Б., Алксне Л.И., Тюнина Э.Л., Лака М. Г. Свойства полимеров при высоких давлениях. М.: Химия, 1973. 218с.
21. Сангадиев С.Ш. Дис. ... канд. физ.-мат. наук. Иркутск: Иркутский гос. ун-т, 1999.